

УДК 538.115

**ДЕФОРМАЦИИ КРИСТАЛЛИЧЕСКОЙ РЕШЕТКИ  
ПРИ ФАЗОВОМ ПЕРЕХОДЕ  
В СПИРАЛЬНЫЕ МАГНИТНЫЕ СТРУКТУРЫ  
(НА ПРИМЕРЕ ЕВРОПИЯ)**

*A. С. Булатов, О. В. Ковалев*

Экспериментально установлена значительная деформация монокристалла европия с появлением эффекта тетрагональности в его ОЦК решетке, сопровождающая магнитное упорядочение типа простой спирали. Теоретико-групповым анализом показано, что деформации обусловлены обменным взаимодействием, специфичным для несоизмеримой фазы и исчезающим для соизмеримой.

Предположим, что в кубическом кристалле вследствие фазового перехода возникает несоизмеримая магнитная структура с характерным волновым вектором  $k$  вдоль одного из трех направлений, которые в кристаллографическом отношении были эквивалентны в парамагнитной фазе. При этом можно ожидать и появления сопутствующей упругой механической деформации, в симметрийном смысле не противоречащей выделению направления вдоль  $k$ . В зависимости от  $k$  могут «выделяться» поверхностная или объемная диагональ или одно из трех направлений осей четвертого порядка. Будем иметь в виду последний случай и считать, что несоизмеримая структура — магнитная спираль с осью вдоль  $Z$  и поворотами моментов в плоскости  $XY$ . Так как группа симметрии этой магнитной структуры состоит только из трансляций, то последними в строгом смысле исчерпывается и группа кристаллографической симметрии (расположения атомов). Но возможные нарушения представляют интерес лишь постольку, поскольку они экспериментально наблюдаются. По-видимому, правильно предположить, что прежде всего должны быть заметны деформации, обусловленные обменным взаимодействием (формально: инвариантами в отношении группы в парамагнитной фазе, содержащими в первой степени компоненты  $u_\mu$ , тензора деформации и во второй — компоненты параметрического магнитного копредставления, притом инвариантами, не меняющимися при повороте магнитной плоскости).

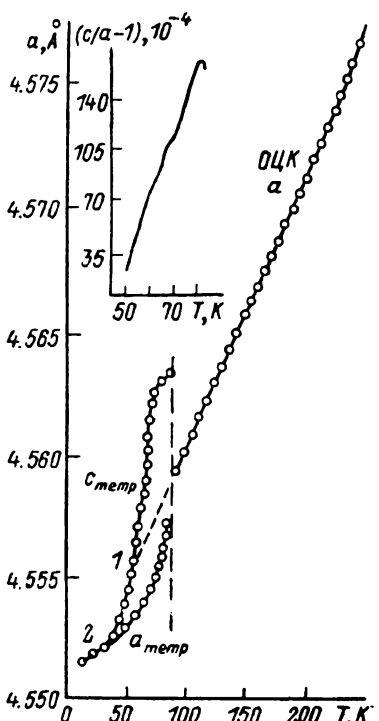
Ниже описываются измерения деформации в монокристалле ОЦК европия Eu в области температуры  $T \approx 90$  К, при которой, согласно [1], возникает описанная выше магнитная спираль (а, согласно [2, 3], — скачок упругих констант; о других аномалиях см., например, [4, 5]) и дается истолкование экспериментов в рамках феноменологической теории фазовых переходов. Основной результат экспериментов — появление при магнитном упорядочении значительной тетрагональности. Результат теоретического рассмотрения — обменный характер соответствующих магнитоупругих констант, специфичный для спиральной фазы и исчезающих в предельных случаях ферро- и антиферромагнитных фаз, а также необменный характер слагаемых, обусловливающих переход в решетку симметрии ниже тетрагональной.

1. Исследование велось на монокристаллических образцах. Исходным материалом служил поликристаллический европий с содержанием метал-

лических примесей  $< 0.5\%$ . Процесс приготовления образцов включал прокатку в пластины до размеров  $10 \times 5 \times 0.5$  мм, упаковку последовательно в европиевую и ниобий-циркониевую фольги, обезгаживающий отжиг в вакууме  $1.2 \cdot 10^{-6}$  мм рт. ст. при температуре  $450^\circ\text{C}$  в течение 5–7 часов и рекристаллизационный отжиг в среде спектрально чистого аргона при давлении 150–200 мм рт. ст. и температуре  $750^\circ\text{C}$  в течение 250 часов. В результате вырастали монокристалльные зерна размером 2–3 мм. Поскольку Еu является активным газовым геттером, особенно по отношению к кислороду и водороду, то образцы транспортировались из камеры отжига через герметичное шлюзовое устройство в камеру монтажа, заполненную аргоном. В ней пластины Еu герметично упаковывались в бериллевый контейнер. Таким образом, при монтаже образца на дифрактометре исключалось соприкосновение образца с воздушной атмосферой,

его поверхность не загрязнялась примесями. После отжига остаточное отношение  $R_{300\text{K}}/R_{4.2\text{K}}$  достигало величины  $\approx 170$ . На дифрактометре от монокристалла с мозаичностью  $\approx 5'$  регистрировалось дифракционное отражение от плоскостей (422) (угол дифракции  $2\theta \approx 176^\circ$ ), что обеспечило измерения межплоскостного расстояния с точностью  $\Delta d_i/d_i = \pm 1.10^{-5}$ . Детально методика измерений и конструкция криостата описана в [6].

На рисунке приведена температурная зависимость параметра  $a$  решетки европия. В парамагнитной фазе наблюдается практическая линейная зависимость  $a(T)$ ,



Температурная зависимость параметров кристаллической решетки.

$a$  — параметр объемно-центрированной кубической (ОЦК) решетки в парамагнитной фазе,  $a_{\text{тетр}}$  и  $a_{\text{степр}}$  — параметры тетрагональной ОЦТ решетки в антиферромагнитной геликоидальной фазе. На вставке — температурная зависимость величины тетрагональности.

однако ниже температуры  $87.5 \pm 0.5$  К обнаруживается понижение симметрии решетки: расщепляется дифракционная линия (422), возникает две компоненты (224) и (422) с соотношением интенсивности 1:2. Это указывает на решетку  $\Gamma_g$ . На вставке рис. 1 показана температурная зависимость осевого отношения  $(c/a - 1)$ . Вначале это отношение велико, но затем уменьшается. При температуре 35 К компоненты (224) и (422) практически не разрешаются, но дифракционный пик остается несколько уширенным и с асимметричным распределением интенсивности, что свидетельствует о слабой тетрагональности на уровне  $10^{-4}$ . При четырехкратном термоциклировании в интервале 20–100 К температурная зависимость  $a=a(T)$  полностью повторялась.

2. В европии угол между магнитными моментами в соседних плоскостях при  $T_N=90$  К близок к  $53^\circ$ , при  $T=4.2$  К — к  $50^\circ$ , т. е. вектор  $k_1=(0, 0, k)$  спиралей далек от симметричных значений  $k_0=0$  и  $k_{1,0}=(0, 0, \pi/c)$ . В связи с этим воспользуемся предложенной в работе [7] моделью перехода в несоизмеримую структуру. Магнитную плотность записываем в двух формах

$$M(\mathbf{r}) = \sum c_\alpha e_\alpha \varphi_i = \sum c_i \psi_i, \quad (1)$$

где  $e_\alpha$  — магнитные орты,  $\varphi_i$  — базисные векторы (БВ) перестановочного представления  $P(k)$ ,  $\psi_i$  — БВ магнитного копредставления  $D_m(K)$ ,  $K=$

$\langle k_1, \dots, k_6 \rangle$  — звезда копредставления. В нашем случае ( $\Phi = \text{Im}3m$ , позиция  $a(0, 0, 0)$  с локальной группой  $G(a) = m\bar{3}m$ ) соответствующие малые копредставления есть  $p(k_1) = d_1$ ,  $d_m(k_1) = d_2 + d_5$  группы  $G(k_1) + K h_{25} G(k_1)$ , где  $G(k_1) = I4mm$ ,  $K$  — оператор комплексного сопряжения,  $h_i$  — повороты по [8],  $d_i$  — малые неприводимые копредставления (НКП); для части элементов  $d_i$  даны в табл. 1 ( $d_1 = d_2 \times d_2$ ,  $d_4 = d_2 \times d_3$ ).

Таблица 1

НКП	$h_4$	$h_{25}$	$h_{37}$		БВ
$d_2$	1	-1	-1	1	
$d_3$	-1	1	-1	1	$e_x$
$d_5$	$\begin{pmatrix} 0 & 1 \\ -1 & 0 \end{pmatrix}$	$\begin{pmatrix} -1 & 0 \\ 0 & 1 \end{pmatrix}$	$\begin{pmatrix} 0 & -1 \\ -1 & 0 \end{pmatrix}$	$\begin{pmatrix} 1 & 0 \\ 0 & 1 \end{pmatrix}$	$e_x, e_y$

Поясним, почему нужно говорить о НКП, а не о неприводимых представлениях (НП). Физически неприводимые представления — это НКП. Все рассматриваемые ниже НП порождают НКП типа  $a$  (совпадают матрицы НП и НКП на унитарных подгруппах). Однако базисы НП и НКП в общем случае различны: из базиса  $\{\Psi_j\}$  НП всегда получается два базиса  $\{\psi_i\}$  и  $\{\psi'_j\}$  НКП типа  $a$

$$\psi_j \sim \Psi_j + a_0 \Psi_j, \quad \psi'_j \sim i(\Psi_j - a_0 \Psi_j), \quad (2)$$

где  $a_0$  — некоторый фиксированный антиунитарный оператор (выше было положено  $a_0 = Kh_{25}$ ). Это обстоятельство существенно при построении базисов из произвольных функций. Лишь на основании физических соображений в некоторых случаях одним из базисов в (2) можно пренебречь (см. ниже).

Для построения и исследования инвариантов нужны матрицы  $D$  полных НКП. Приведем только части  $D'$  этих матриц, показывающие, как преобразуются БВ, связанные с  $k_1$  и  $-k_1$  (табл. 2). В  $D'_1$  и  $D'_2$  строкам соответствуют последовательно БВ  $\psi_1$  и  $\psi_1^*$ , в  $D'_5$  — БВ  $\psi_1, \psi_2, \psi_1^*$  и  $\psi_2^*$ .

$$a = \begin{pmatrix} 0 & 1 \\ -1 & 0 \end{pmatrix}, \quad b = \begin{pmatrix} -1 & 0 \\ 0 & 1 \end{pmatrix}, \quad e = \begin{pmatrix} 1 & 0 \\ 0 & 1 \end{pmatrix}, \quad f = \begin{pmatrix} 0 & 1 \\ 1 & 0 \end{pmatrix}.$$

Далее нам понадобятся БВ НКП. Пусть функция  $u(r)$  вещественна, обладает свойством  $u(r) = u(r+a)$ , а в остальном произвольна. Применяя  $u(r) \exp(i k_1 r)$  оператор проектирования на малое НП  $\tau^1$  (порождающее  $d_1$ ), получим

$$F_1 = \exp(i k_1 r) \sum u(h_i r), \quad i = 1, 14, 4, 15, 26, 37, 27, 40. \quad (3)$$

Из  $F_1$  по (2) находим два БВ  $\psi_1$  и  $\psi'_1$  НКП  $d_1$ . При этом  $\psi'_1$  оказывается состоящей из разностей  $u(hr) - u(-hr)$ , которые обращаются в нуль в позициях атомов. На этом основании исключаем  $\psi'_1$  из рассмотрения. Остается

$$\left. \begin{aligned} \varphi_1 &\sim \varphi(r) \exp(i k_1 r); \quad \varphi(r) = \sum v(h_i r); \quad i = 1, \dots, 4, 13, \dots, 16; \\ v(r) &= u(r) + u(-r). \end{aligned} \right\} \quad (4)$$

Таким образом, сейчас был несколько обобщен введенный в [9] принцип, согласно которому не учитываются БВ, обращающиеся в нуль в позициях атомов.

3. Пусть  $D_5$  — параметрическое НКП. Можно показать, что минимизация суммы  $\Phi$  инвариантов произвольного порядка, составленных из коэф-

Таблица 2

НКП	$h_4$	$h_2$	$h_{26}$	$h_{25}$
$D'_1$	$e$	$f$	$e$	$f$
$D'_2$	$e$	$-f$	$-e$	$f$
$D'_5$	$\begin{pmatrix} a & 0 \\ 0 & a \end{pmatrix}$	$\begin{pmatrix} 0 & c \\ c & 0 \end{pmatrix}$	$\begin{pmatrix} c & 0 \\ 0 & c \end{pmatrix}$	$\begin{pmatrix} 0 & e \\ e & 0 \end{pmatrix}$

фициентов  $c_j = \rho_j \exp(i\vartheta_j)$  ( $j=1, \dots, 6$ ), относящихся к  $D_5$ , приводит, в частности, к решению

$$\mathbf{M}(\mathbf{r}) \sim \sum c_i \psi_i + c_i^* \psi_i^* \sim \varphi(\mathbf{r}) [e_x \cos(kr + \vartheta) - e_y \sin(kr + \vartheta)].$$

Это спираль в том смысле, что при  $\varphi(\mathbf{r}) = \delta(\mathbf{r} - \mathbf{a})$  сдвиг вдоль  $Z$  сопровождается поворотом на  $k\pi$  моментов атомов.

4. Оценим инварианты, квадратичные по  $c_j$  и линейные по  $u_{\mu\nu}$ . Их легко получить, выяснив, по каким НП группы  $m\bar{3}m$  преобразуются трансляционно инвариантные произведения  $c_j c_k^*$  и  $u_{\mu\nu}$ . Оказывается, что из прилежащих  $D_5$  величин  $c_j$  и диагональных компонент  $u_{\mu\mu}$  можно составить инварианты ( $u = u_{xx} + u_{yy} + u_{zz}$ )

$$J_1 = (c_1 c_1^* + \dots + c_6 c_6^*) u, \quad J_2 = (c_1 c_1^* + c_2 c_2^*) u_{xx} + (c_3 c_3^* + c_4 c_4^*) u_{yy} + (c_5 c_5^* + c_6 c_6^*) u_{zz},$$

$$J_3 = (c_2 c_2^* + c_3 c_3^*) u_{xx} + (c_1 c_1^* + c_6 c_6^*) u_{yy} + (c_4 c_4^* + c_5 c_5^*) u_{zz}.$$

Будем считать, что в энергию эти  $J_i$  входят с коэффициентами  $\alpha_i$ , и выясним, какие  $\alpha_i$  обменные и какие  $\alpha_i$  обращаются в нуль при  $k \rightarrow 0$  и  $k \rightarrow \pi/a$ . Весьма существенно, что для решения этого вопроса нельзя ограничиться рассмотрением лишь параметрического НКП  $D_5$ , а нужно также привлечь НКП  $D_2$ , поскольку его БВ входят в разложение  $\mathbf{M}(\mathbf{r})$ .

Обозначим через  $c'_i$  коэффициенты в  $\mathbf{M}(\mathbf{r})$  при БВ  $\psi'_i$  НКП  $D_2$ . Соответственно получим дополнительные инварианты

$$J_4 = (c'_1 c'_1^* + \dots + c'_3 c'_3^*) u, \quad J_5 = c'_1 c'_1^* u_{xx} + c'_2 c'_2^* u_{yy} + c'_3 c'_3^* u_{zz}.$$

В рассматриваемом случае одного вектора  $\mathbf{k} = \mathbf{k}_1$  в энергию входят части  $J_i$ , относящиеся к  $\mathbf{k}_1$ , т. е. в энергию входит сумма

$$S(\mathbf{k}_1) = \alpha_1 (c_1 c_1^* + c_2 c_2^* + c'_1 c'_1^*) u + \alpha_3 (c_2 c_2^* u_{xx} + c_1 c_1^* u_{yy} + c'_1 c'_1^* u_{zz}) +$$

$$+ (\alpha_4 - \alpha_1) c_1 c_1^* u + \alpha_2 (c_1 c_1^* + c_2 c_2^* + c'_1 c'_1^*) u_{zz} + (\alpha_5 - \alpha_2 - \alpha_3) c'_1 c'_1^* u_{zz}.$$

При произвольном повороте ортов  $e_\alpha$  не меняются выражения в скобках при  $\alpha_1$  и  $\alpha_2$ , так как  $c_1, c_2$  и  $c'_1$  — коэффициенты в  $\mathbf{M}(\mathbf{r})$  при функциях  $e_y \varphi_1, e_x \varphi_1$  и  $e_z \varphi_1$  соответственно. Поэтому  $\alpha_1$  и  $\alpha_2$  имеют в основном обменный характер и по модулю велики. Остальные коэффициенты в  $S(\mathbf{k}_1)$  неинвариантны относительно поворота ортов и, следовательно, необменные и малы:  $\alpha_3 \approx 0, \alpha_4 \approx \alpha_1, \alpha_5 \approx \alpha_2$ .

Совершим теперь предельный переход  $k \rightarrow 0$  и потребуем, чтобы при этом получилось то же выражение для энергии, какое имеют место, если с самого начала рассматривать случай звезды  $K=0$ . Для последней в роли перестановочного НКП выступает единичное  $T^1(K=0)=D_1(K=0)$  группы  $Im\bar{3}m$ . Преобразующаяся по  $D_1(K=0)$  функция совпадает с  $v(\mathbf{r})$  из (4), если на  $v(\mathbf{r})$  наложить условия:  $v(\mathbf{r}) = v(h_5 \mathbf{r}) = v(h_9 \mathbf{r})$  при  $k \rightarrow 0$ . (Если  $\mathbf{M}(\mathbf{r})$  считать  $\delta$ -образной, указанные условия выполняются автоматически; в общем случае, как и условие  $\varphi_1=0$ , его приходится навязывать).

Переход  $k \rightarrow 0$  сопровождается переходами  $c_1, c_1^* \rightarrow M_y, c_2, c_2^* \rightarrow M_z, c'_1, c'_1^* \rightarrow M_x$ ,

$$S(\mathbf{k}_1) \rightarrow S(\mathbf{M}) = \alpha_1 M_y^2 u + \alpha_3 (M_x^2 u_{xx} + M_y^2 u_{yy} + M_z^2 u_{zz}) + (\alpha_4 - \alpha_1) M_z^2 u +$$

$$+ \alpha_2 M_z^2 u_{zz} + (\alpha_5 - \alpha_2 - \alpha_3) M_x^2 u_{zz},$$

где  $M_x$  — компоненты вектора ферромагнетизма. Если же исходить из звезды  $K=0$ , то получим всего два инварианта:  $M_x^2 u$  и  $M_x^2 u_{xx} + M_y^2 u_{yy} + M_z^2 u_{zz}$ . Отсюда следует, что при  $k \rightarrow 0$  обращается в нуль обменный коэффициент  $\alpha_2$ .

Аналогично можно показать, что  $\alpha_2 \rightarrow 0$  при  $k \rightarrow \pi/\tau$ . Кроме того, имеется инвариант с недиагональными  $u_{\mu\nu}$ . Он необменный, им и необменным  $J_3$  пренебрегаем. Не рассматриваем также  $J_4$  и  $J_5$ , поскольку ограничиваемся случаем простой спирали.

То обстоятельство, что  $\alpha_2$  — обменный коэффициент, объясняет значительную деформацию в Eu. Отметим также, что из факта обращения  $\alpha_2$  в нуль при  $k=0, \pi/\tau$  следует, что при теоретическом рассмотрении несоизмеримых структур нельзя ограничиваться инвариантами, построеными для точек высокой симметрии в k-пространстве (даже если используется модель с производными по координатам).

5. Определим  $u_{\mu\nu}$ , обусловленные магнитным переходом. Для случая  $\rho_1=\rho_2=\rho, 2\theta=\pi$  запишем энергию с учетом магнитоупругих инвариантов

$$\Phi = \frac{1}{2} \rho^2 [a_1 + a_2 u_{zz} + a_3 (u_{xx} + u_{yy})] + \frac{1}{4} K \rho^4 + \frac{1}{2} \Lambda u^2 + \delta (u_{yy} u_{zz} + u_{xx} u_{zz} + u_{xx} u_{yy}), \quad (5)$$

где  $a_2=a_3=\alpha_2, a_3=\alpha_1, K$  — некоторый коэффициент. Минимизируя (5) по  $\rho$  и  $u_{\mu\nu}$ , найдем, что

$$u_{zz} = -\rho^2 \frac{(2\Lambda + \delta)(\alpha_3 - \alpha_2) + \delta a_3}{2\delta(3\Lambda + 2\delta)}, \quad u_{xx} = u_{yy} = \rho^2 \frac{\Lambda(\alpha_3 - \alpha_2) - \delta a_2}{2\delta(3\Lambda + 2\delta)}, \quad (6)$$

$$\rho^2 = -\frac{a_1}{K(1+\chi)}, \quad \chi = \frac{2\Lambda(\alpha_3 - \alpha_2)^2 + \delta(a_2 - 4a_3)a_2}{2K\delta(3\Lambda + 2\delta)}. \quad (7)$$

Значение  $\Phi$  в минимуме равно

$$\Phi_m = -\frac{a_1^2}{4K(1+\chi)}. \quad (8)$$

Для оценки  $\Lambda$  и  $\delta$  воспользуемся данными [2] для поликристаллического европия, экстраполируем их на монокристалл и примем, что  $\lambda_{xxxx} = \lambda_{xxyy} = 2\lambda_{xyxy} = 0$ . Найдем, что  $\Lambda = 2.55, \delta = -1.84$  в единицах  $10^{-11}$  дин/см<sup>2</sup> и далее

$$u_{zz} = q^2 \rho^2 [3.26(\alpha_3 - \alpha_2) - 1.84a_3], \quad u_{xx} = -q^2 \rho^2 [2.55(\alpha_3 - \alpha_2) + 1.84a_2], \quad (9)$$

где  $2\delta(3\Lambda + 2\delta)q^2 = -1$ . Данные эксперимента ( $u_{zz} > 0 > u_{xx}$ ) и (6) заставляют принять, что  $\alpha_3 - \alpha_2 > 0$ . На основании данных рисунка при оценке можно принять вблизи 90 К, что  $u \approx 0$  и, следовательно,  $a_2 + 2a_3 \approx 0$ .

Значения  $u_{\mu\nu}$  для ферромагнитной фазы (неважно, имеет или не имеет она место в европии) получаются из (9) при  $a_2 = a_3$

$$u_{zzf} = u_{xxf} = \delta \rho^2 q^2 a_{3f} \approx -2\rho^2 q^2 a_{3f}. \quad (10)$$

Эти значения можно считать характерными для ферромагнетиков. Хотя значения  $a_3$  для спиральной и ферромагнитной фаз, безусловно, различны, тем не менее из (9), (10) следует, что вполне реальна ситуация, при которой  $u_{zz}$  в (9) заметно больше  $u_{zz}$  в (10). Подчеркнем также, что разность  $\Delta u = u_{zz} - u_{xx}$  для спиральной фазы — величина того же порядка, что и, например,  $u_{xx}$ .

Проверим, не противоречат ли теоретические выводы «треугольнику» на рисунке между кривыми  $c_{\text{тетр}}$  и  $a_{\text{тетр}}$ . В точке I пересечения  $c_{\text{тетр}}$  с продолжением прямой  $a_{\text{куб}}$  имеем  $u_{zz} = 0$ . Приняв это равенство в качестве определяющего, получим для точки I

$$u_{xxI} = -\frac{\rho^2 a_3}{2(2\Lambda + \delta)}, \quad \left(\frac{\Delta V}{V}\right)_I = u = 2u_{xxI}.$$

т. е.  $u_{xx_1} < 0$ ,  $\Delta V < 0$ . Такие же неравенства имеют место в точке 2 сходжения кривых  $c_{\text{тетр}}$  и  $a_{\text{тетр}}$ . Движению от температуры фазового перехода к точке 2 на плоскости параметров  $a_2$  и  $a_3$  соответствует перемещение от некоторой точки на прямой  $2a_3 = -a_2$  к какой-то точке на прямой  $a_3 = a_2$ . Всюду  $a_3 > 0$ , а в некоторой точке  $P$   $a_2 = 0$ . В этой точке  $u_{zzP} > 0$ ,  $u_{xxP} < 0$ .

Полученные заключения о знаках  $u_{\mu\mu}$  и  $\Delta V$  согласуются с рисунком.

При этом под  $u_{\mu\mu}$  понимались отклонения от значений, которые имели бы компоненты тензора деформаций при отсутствии магнитного упорядочения. Коэффициенты  $a_j$  можно выразить через производные обменных взаимодействий атомов по расстоянию.

6. Формулы (5)–(10) применимы несколько ниже точки перехода, но они не указывают на скачок  $u_{\mu\mu}$  и на то, что переход экспериментально выглядит как переход первого рода. Мы предполагаем, что срыву на переходе первого рода весьма содействует сильная тетрагональность спиральной фазы. Когда  $a_1$  становится отрицательным, образуются малых размеров зародышевые области с магнитным упорядочением и хаотическим расположением растяжений по трем кристаллографическим осям  $C_4$ . Корреляции чисто магнитного характера между зародышами незначительны как в силу короткодействия обменных сил, так и ввиду отсутствия магнитных моментов у зародышей. Но ввиду значительных растяжений вдоль осей спиралей возникают сильные механические напряжения, что приводит к эффективным значениям  $\Lambda$  и  $\delta$ , отличающимся от таковых вдали от точки фазового перехода и препятствующим возрастанию  $\rho$ . При сближении границ зародышей в некоторый момент оси спиралей выстраиваются в одном направлении,  $\Lambda$  и  $\delta$  принимают обычные значения,  $u_{zz}$  испытывает скачок,  $\rho$  резко возрастает, что может быть экспериментально принято за скачок.

Разумеется, возможно стандартное объяснение скачка  $\rho$  в рамках, например, теории, описанной в [10] (условие:  $K(1+\chi) < 0$ ). Однако получающийся результат — обратная пропорциональность скачка  $\rho$  коэффициенту при инварианте 6-го порядка — представляется парадоксальным.

Несколько слов о левой вершине «треугольника» на рисунке. Разность  $\Delta$  зависит от температуры уже хотя бы из-за изменения расстояний между атомами. В европии она, в частности, обращается в нуль около 35 К. В нуль обращается и энергия, пропорциональная  $(\Delta u)^2$ , так что на первый план выступает магнитное взаимодействие. Возможно, при 35 К появляется доменная структура, обеспечивающая кубичность при более низких температурах.

#### Л и т е р а т у р а

- [1] Nereson N. G., Olsen C. E., Arnold G. P. Phys. Rev., 1964, vol. 135, N 1a, p. A176—179.
- [2] Бурханов А. М., Гражданкина Н. П., Факидов И. Г. ФТТ, 1967, т. 9, № 3, с. 748—749.
- [3] Rosen M. Phys. Rev., 1968, vol. 166, N 2, p. 561—564.
- [4] Cohen R. L., Häufner S., West K. W. Phys. Rev., 1969, vol. 184, N 2, p. 263—270.
- [5] Барский И. М., Боярский Л. А., Диковский В. А. ФТТ, 1974, т. 15, № 10, с. 3092—3096.
- [6] Булатов А. С., Долженко В. Ф. ПТЭ, 1985, № 5, с. 206—208.
- [7] Ковалев О. В. ФТТ, 1965, т. 7, № 1, с. 103—110.
- [8] Ковалев О. В. Неприводимые представления пространственных групп. Киев: Изд-во АН УССР, 1961. 154 с.
- [9] Ковалев О. В. ФТТ, 1963, т. 5, № 12, с. 3156—3163.
- [10] Изюмов Ю. А., Сыромятников В. Н. Фазовые переходы и симметрия кристаллов. М.: «Наука», 1984. 248 с.

Харьковский  
физико-технический институт  
АН СССР  
Харьков

Поступило в Редакцию  
22 апреля 1987 г.  
В окончательной редакции  
12 августа 1987 г.